

## 乙型肝炎合并肝脏巨大腺瘤1例

曹亚昭, 程书权

**■背景资料**

肝细胞腺瘤(hepatocellular adenoma, HCA)是一种较为罕见的肝内良性肿瘤, 生长缓慢, 缺乏特异的临床症状, 极易被忽视或误诊, 从而延误治疗, 且临床发现时体积常较大并伴出血坏死。HCA多见于年轻女性, 常与口服避孕药有关。

曹亚昭, 程书权, 桂林市第三人民医院肝病科 广西壮族自治区桂林市 541001

曹亚昭, 程书权, 桂林医学院研究生学院 广西壮族自治区桂林市 541004

曹亚昭, 在读硕士, 主要从事传染性疾病研究。

**作者贡献分布:** 曹亚昭与程书权对本文所作贡献均等; 此课题设计、研究过程操作、数据分析及论文写作均由曹亚昭与程书权完成; 研究所用分析工具由程书权提供。

**通讯作者:** 程书权, 教授, 主任医师, 硕士研究生导师, 541001, 广西壮族自治区桂林市秀峰区中隐路38号, 桂林市第三人民医院肝病科。csq126@sina.com  
电话: 0773-2550180

收稿日期: 2017-01-15

修回日期: 2017-03-09

接受日期: 2017-04-05

在线出版日期: 2017-05-18

### A case of hepatitis B with huge hepatic adenoma

Ya-Zhao Cao, Shu-Quan Cheng

Ya-Zhao Cao, Shu-Quan Cheng, Liver Disease Division, the Third People's Hospital of Guilin, Guilin 541001, Guangxi Zhuang Autonomous Region, China

Ya-Zhao Cao, Shu-Quan Cheng, Graduate School of Guilin Medical College, Guilin 541001, Guangxi Zhuang Autonomous Region, China

**Correspondence to:** Shu-Quan Cheng, Professor, Chief Physician, Liver Disease Division, the Third People's Hospital of Guilin, 38 Zhongyin Road, Xiufeng District, Guilin 541001, Guangxi Zhuang Autonomous Region, China. csq126@sina.com

Received: 2017-01-15

Revised: 2017-03-09

Accepted: 2017-04-05

Published online: 2017-05-18

**■同行评议者**

顾生旺, 主任医师, 江苏省淮安市解放军第八二医院感染内科; 朱新宇, 教授, 山西医科大学第一医院传染病科

### Abstract

Hepatocellular adenoma (HCA) is a rare, slow growing, benign tumor in the liver, which often has a large volume and is discovered with hemorrhage and necrosis. HCA, frequently seen in young women, is often associated with the use of oral contraceptives. Here we present a case of hepatitis B with huge hepatic adenoma.

© The Author(s) 2017. Published by Baishideng Publishing Group Inc. All rights reserved.

**Key Words:** Hepatitis B; Hepatocellular adenoma; Huge

Cao YZ, Cheng SQ. A case of hepatitis B with huge hepatic adenoma. Shijie Huaren Xiaohua Zazhi 2017; 25(14): 1316-1320 URL: <http://www.wjgnet.com/1009-3079/full/v25/i14/1316.htm> DOI: <http://dx.doi.org/10.11569/wcjd.v25.i14.1316>

### 摘要

肝细胞腺瘤(hepatocellular adenoma, HCA)是一种较为罕见的肝内良性肿瘤, 生长缓慢, 发现时体积常较大并伴出血坏死。HCA多见于年轻女性, 常与口服避孕药有关, 本文就乙型肝炎合并肝脏巨大腺瘤1例进行论述。

© The Author(s) 2017. Published by Baishideng Publishing Group Inc. All rights reserved.

**关键词:** 乙型肝炎; 肝脏腺瘤; 巨大

**核心提要:** 肝细胞腺瘤表现缺乏特异的临床症状, 常于体检时发现, 临床常见于右上腹胀痛, 临床医师需结合病史及辅助检查, 给予正确的治疗。

曹亚昭, 程书权. 乙型肝炎合并肝脏巨大腺瘤1例. 世界华人消化杂志 2017; 25(14): 1316–1320 URL: <http://www.wjnet.com/1009-3079/full/v25/i14/1316.htm> DOI: <http://dx.doi.org/10.11569/wcjd.v25.i14.1316>

## 0 引言

肝细胞腺瘤(hepatocellular adenoma, HCA)是一种较为罕见的肝内良性肿瘤, 多发于年轻女性, 与长期使用口服避孕药(oral contraceptives, OC)或合成代谢类固醇(anabolic steroids, AASS)雄激素可能有关<sup>[1-3]</sup>. 国内外报道<sup>[4]</sup>在性别统计上具有较大的差异, 这可能与我国女性使用口服避孕药下降, 男性具有患HCA的多种危险因素, 如肥胖、酗酒、糖尿病等. 又因HCA生长缓慢, 无明显不适感, 临床常见于巨大肿瘤并瘤内出血, 引起一系列并发症导致死亡, 这尤需引起临床上的重视, 本文就乙型肝炎合并肝脏巨大腺瘤1例进行论述.

## 1 病例报告

患者, 女, 27岁, 广西桂林籍, 汉族, 已婚, 农民. 以“乙肝病史7年, 乏力、右上腹胀痛5 d”为主诉于2015-01-03入院. 自诉7年前体检发现乙型肝炎病毒(hepatitis B virus, HBV)感染, 乙肝五项标志为乙型肝炎表面抗原(hepatitis B surface antigen, HBsAg)、乙型肝炎e抗原(hepatitis B e antigen, HBeAg)和乙肝核心抗体阳性, 肝功能正常. 2年前自觉上腹部逐渐饱满, 因精神食欲与平时无异, 未就诊. 1年前无明显诱因出现乏力、厌油、恶心, 右上腹胀痛不适, 尿色深黄如浓茶水样, 在本乡医院化验功肝能ALT 345 U/L, AST 308 U/L, Tbil 38 μmol/L, 按“乙型肝炎(chronic hepatitis B, CHB)”对症治疗后好转. 但ALT波动于80-145 U/L, 在家间断服用中药治疗(具体用药不详)至今. 经询问近5年间断服用炔诺酮类药物避孕. 5天前上述症状再次出现, 并呕吐1次, 近2 d有不规则发热, 体温最高39 °C. 入院查体: T 39 °C, P116次/分, R22次/分, BP 127/72 mmHg. 神智清楚, 精神一般, 发热面容. 皮肤巩膜轻度黄染, 无肝掌、蜘蛛痣, 无皮疹、出血点, 心肺无特殊. 腹部自剑突下区-右上腹部可见一均匀性异常隆起, 无腹壁静脉曲张和胃肠型. 触诊肝脏下界位于剑突下8 cm, 右肋弓下6 cm, 质地中等, 边缘钝, 轻度触痛, 墨菲氏征(-), 叩诊肝上界位于右锁

骨中线第5肋间, 肝区叩击痛(+), 腹膜刺激征(-), 移动性浊音阴性, 未闻及血管杂音. 双下肢无水肿, 神经系统无异常. 实验室检查: 血常规: WBC  $12.25 \times 10^9/L$ , 中性粒细胞  $10.2 \times 10^9/L$ , N 83.3%, RBC  $2.98 \times 10^{12}/L$ , HGB 86 g/L, PLT  $303 \times 10^9/L$ . 肝功能: ALT 861 U/L, AST 235 U/L, Tbil 41.7 μmol/L, TP 58.4 g/L, ALB 30.4 g/L, GLO 28.0 g/L, A/G 1.1, GGT 45 U/L, ALP 141 U/L, TBA 12.2 mmol/L, PT 16.7 s. HBV-M 为HBsAg、HBeAg、抗-HBc阳性, PreS1抗原(+), HBV-DNA  $6.2 \times 10^7$  拷贝/mL. HBV基因B型, YMDD无变异. AFP 18 ng/L, CEA(-), 肝吸虫抗体(-). 胸片提示右侧胸腔少量积液, ECG无异常. B超: 肝脏明显肿大, 形态失常, 肝右半斜径180 mm, 前后径100 mm, 左半肝长115 mm. 肝内回声明显不均, 右肝内探及219 mm×150 mm混合性包块, 包块内可见较强回声及低回声交替, 以低回声为主. 剑突下8 cm、右肋弓下6 cm可探及肝回声, 胆囊显示不清. 脾脏厚56 mm, 无腹水. CDFI: 实质回声内血流信号不明显. CT显示: 肝脏明显增大, 上下径280 mm, 巨大实质性包块占据肝右叶, 边缘清楚. 肿块密度稍高于正常肝组织, 中间可见大片坏死区, 其内高密度者CT值60HU, 低者呈液样密度. 动脉期病灶实质部分呈明显的均匀性强化, 病灶内血管存在, 病灶和正常肝实质之间可见低密度包膜, 门脉期肿块强化略低于肝实质, 延时扫描肿块强化同正常肝实质. 肝内外胆管未见扩张, 腹膜后淋巴结无肿大. 右肾向下推移, 胰腺向对侧推移, 右胸部可见弧形条带状胸水阴影. 2015-01-06以“肝脏肿瘤性质待查”转外科, 01-19开腹探查, 手术见肝右叶呈巨大肿瘤样膨大, 肝表面血管迂曲扩张, 触之有明显波动感, 穿刺减压抽出黑褐色浑浊液体100 mL及少许米黄色异常组织, 进一步探查肿物占据整个肝右叶, 约32 cm×28 cm×22 cm, 与左叶分界清楚, 肿块呈米黄色, 组织松脆, 中央广泛坏死呈黑褐色, 可见区液化, 与肝组织间有较完整的包膜, 肿瘤表面仅有3-5 mm厚正常肝脏组织覆盖. 肝左叶代偿性增大为15 cm×10 cm×6 cm, 组织结构正常. 肿块切除后称量3000 g, 快速冰冻切片报告为非典型性增生. 病理所见: 送检物为直径约30 cm肝组织一块, 基本为被膜不完整的灰褐色实性肿物占据, 切面暗褐色有大面积出血, 边缘灰黄质软. 诊断为肝右叶

## ■研究前沿

关于HCA研究较少, 如何引起临床对其重视, 诊断并给予正确治疗, 是亟待解决的问题.

## ■相关报道

关于HCA的文献报道多为临床个案报道, 且多偏重临床诊断, 其分析HCA国内外性别差异、其与口服避孕药时间相关性报道少见, 在Shanbhogue等、Lin等、统计了国外男女发病率, Seo等则表明HCA与口服避孕药时间的正相关性.

■创新盘点

本文报道的案例中HCA体积大且合并乙型肝炎，并进一步分析了HCA国内外性别差异的原因及其与口服避孕药时间的相关性。

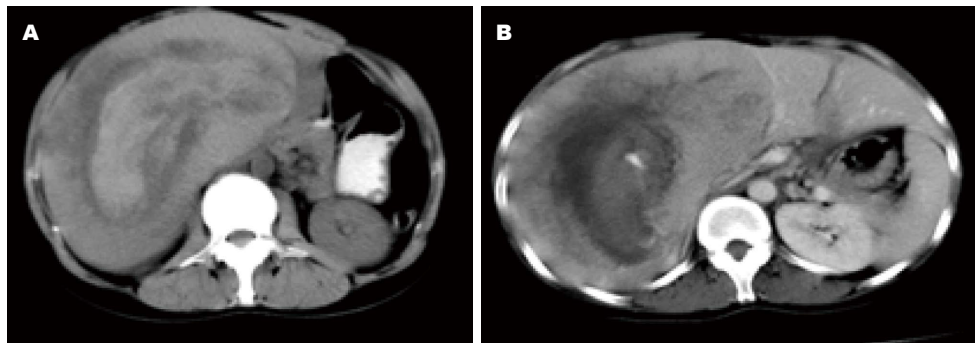


图1 乙型肝炎合并巨大肝脏腺瘤患者CT图. A: 肝脏明显增大, 上下径280 mm, 巨大实质性包块占据肝右叶, 边缘清楚; B: 肿块密度稍高于正常肝组织, 中间可见大片坏死区, 其内高密度者CT值60 HU, 低者呈液样密度. 动脉期病灶实质部分呈明显的均匀性强化, 病灶内血管存在, 病灶和正常肝实质之间可见低密度包膜, 门脉期肿块强化略低于肝实质, 延时扫描肿块强化同正常肝实质.

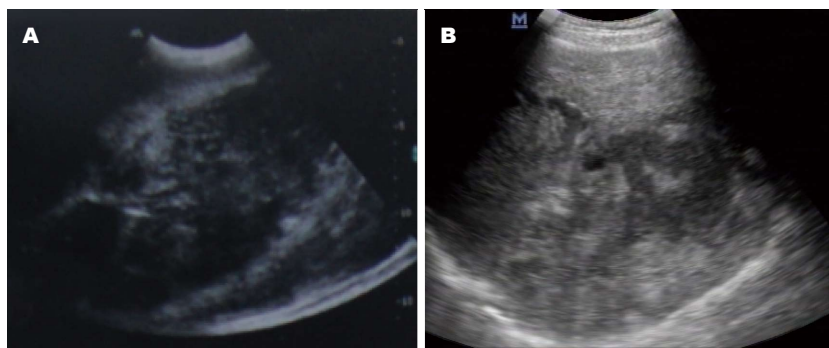


图2 乙型肝炎合并巨大肝脏腺瘤患者B超图. A: 肝脏明显肿大, 形态失常, 肝右半斜径180 mm, 前后径100 mm, 左半肝长115 mm; B: 肝内回声明显不均, 右肝内探及219 mm×150 mm混合性包块, 包块内可见较强回声及低回声交替, 以低回声为主. 剑突下8 cm、右肋弓下6 cm可探及肝回声, 胆囊显示不清.

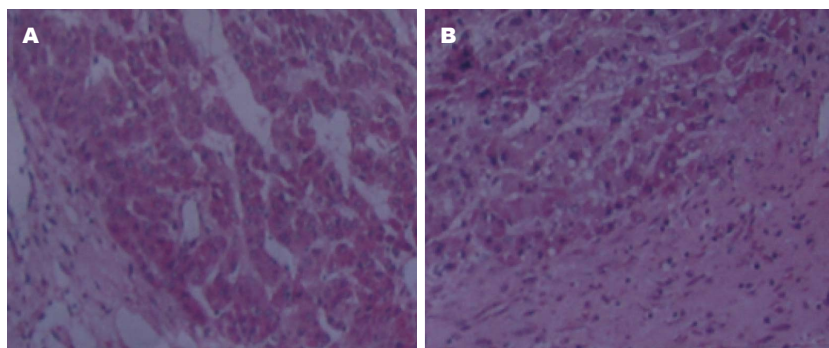


图3 乙型肝炎合并巨大肝脏腺瘤患者肝脏组织病理所见. A: 送检物为直径约30 cm肝组织一块, 基本为被膜不完整的灰褐色实质性肿物占据, 切面暗褐色有大面积出血, 边缘灰黄质软; B: 诊断为肝右叶巨大肝细胞腺瘤合并广泛出血坏死(出血性梗死)及感染.

巨大肝细胞腺瘤合并广泛出血坏死(出血性梗死)及感染(图1-3).

■应用要点

HCA生长缓慢, 缺乏特异的临床症状, 易与局灶性结节增生、肝吸虫病相混淆, 因此需要重视发病高危人群.

## 2 讨论

HCA是一种较为罕见的肝内良性肿瘤, 多发于年轻女性, 与长期使用OC或AASS雄激素可能有关<sup>[1,2]</sup>. 长期服用避孕药者HCA的发病率为3-4/1万, 而在不服用避孕药及服用避孕药史短

于2年的妇女该病的发病率仅为1/100万. 国外报道多见于有口服避孕药史的肥胖女性, Shanbhogue等<sup>[3]</sup>研究称男女的发病比例约为1:9, 且绝经妇女极少发生. Seo等<sup>[4]</sup>认为, 长期使用口服避孕药≥2年以上的女性HCA年发病率约为(3-4)/10万, 高于不使用或使用口服避孕药<2年女性的30-40倍. 肝腺瘤的发病率与服用避孕药的时间和剂量有直接关系. OCs

使用的时间>5年和雌激素的含量决定了肝细  
胞腺瘤是否继续发展, 但确切应用剂量与疗程  
与发生HCA的内在联系目前未见报道, 可能与  
本病发生率较低, 缺乏大宗病例的系列研究有  
关。徐晋勋<sup>[5]</sup>发现避孕药能增加良性肝腺瘤的  
发生率, 随着服用时间的延长, 发生肝腺瘤的  
危险性增加, 特别是大剂量避孕药其发病危险  
性更高, 且使用避孕药有肝腺瘤者比不使用避  
孕药有肝腺瘤者容易发生肝破裂。据Lin等<sup>[6]</sup>统  
计1998年至2008年全球356例HCA患者(其中  
中国报告191例), 国外以中青年女性为主, 国  
内以男性居多, 造成这种国内外差异的原因可  
能是: (1)国内口服避孕药于20世纪60年代问世,  
而20世纪80年代初我国正式实行计划生育政  
策, 很多妇女生育第1胎之后就接受了放置  
宫内节育器或者行绝育手术, 不再口服避孕药;  
(2)由于国内肝癌高发, 特别是对男性肝癌的重  
视, 提高了男性HCA的检出率; (3)发生于男性的  
HCA其他危险因素还包括: 肥胖、酗酒、糖  
尿病、使用合成类固醇激素、糖原贮积病、  
血色素沉着症、雄激素治疗、巴比妥类药物  
的使用和克罗米酚的摄入等<sup>[4]</sup>。

HCA的肿瘤70%为单发, 小部分多发。其  
平均直径一般<50 mm, >80 mm者临床极为罕  
见<sup>[7]</sup>, Farges等<sup>[8]</sup>报告最大者为100 mm, 国内  
刘丽华<sup>[9]</sup>报告1例78岁老年女性, 病史20余年,  
HCA 165 mm×135 mm×98 mm; 陆忠义<sup>[7]</sup>报  
告1例26岁男性, 病史2年, HCA 20 cm×23 cm  
×30 cm为临床所仅见。一般而言, 瘤体较小者  
通常无明显不适, 常于体检时被发现。仅在肿  
瘤增大压迫临近器官时, 出现上腹胀满、恶  
心, 食欲不振, 上腹牵拉感等非特异表现<sup>[11]</sup>。由  
于肿瘤可持续膨胀性生长, 达一定体积后其中心  
部位若因缺血而发生坏死、出血, 则可表现  
为发作性右上腹胀痛、发热、局部压痛、血  
象升高等。一旦破裂, 可呈现急腹症甚至失血  
性休克<sup>[10]</sup>。临床均以急、慢性腹痛为主要表现。  
目前认为, HCA具有发展慢, 病史长, 自觉症  
状轻, 全身状况较好, 极少恶变, 通常无病毒性  
肝炎、肝硬化背景等特点。Stoot等<sup>[11]</sup>检索全球  
157个相关系列和17例共1635例HCA报告, 肝  
细胞腺瘤恶化为肝癌肝细胞癌(hepatocellular  
carcinoma, HCC)者罕见, 占4.2%。Lin等<sup>[6]</sup>的10  
年统计亦仅为5.6%(20/356)共存HCC。

CHB合并HCA临床罕见, Lin等<sup>[6]</sup>总结其发

生率仅为1.7%。本例患者已有CHB病史7年, 2  
年前右上腹已逐渐饱满隆起, 提示肿块生长较  
快, 因无不适感, 未到医院做进一步检查, 直至  
本次肝功能明显异常方被确诊。影像学及手术  
所见HCA直径>30 cm, 重达3000 g之巨, 我们  
检索国内文献未见报道。患者入院时发热, 白  
细胞升高已提示肿瘤坏死可能, 但腹痛始终不  
甚剧烈。手术中发现肿瘤中心已经坏死并有液  
化出血, 结构极为松脆, 而瘤周仅有3-5 mm正  
常肝组织包被, 已濒临破裂和腹腔内出血边缘,  
当为闻者所惕。

本病预后良好, 肿瘤较小者, 停止应用相  
应的性激素类药物, 肿瘤可自行回缩, 合并  
HBV感染者须规范抗病毒治疗。据Dardenne  
等<sup>[12]</sup>观察37例, 未手术治疗者87.9%肿瘤减小  
或消失。肿瘤较大者应用射频消融治疗亦有满  
意效果<sup>[13]</sup>。

### 3 参考文献

- Masuda T, Beppu T, Ikeda K, Ishiko T, Chikamoto A, Hayashi H, Okabe H, Otao R, Takamori H, Namimoto T, Iyama K, Baba H. Pigmented hepatocellular adenoma: report of a case. *Surg Today* 2011; 41: 881-883 [PMID: 21626342 DOI: 10.1007/s00595-010-4344-7]
- Giannitrapani L, Soresi M, La Spada E, Cervello M, D'Alessandro N, Montalto G. Sex hormones and risk of liver tumor. *Ann N Y Acad Sci* 2006; 1089: 228-236 [PMID: 17261770 DOI: 10.1196/annals.1386.044]
- Shanbhogue AK, Prasad SR, Takahashi N, Vikram R, Sahani DV. Recent advances in cytogenetics and molecular biology of adult hepatocellular tumors: implications for imaging and management. *Radiology* 2011; 258: 673-693 [PMID: 21339346 DOI: 10.1148/radiol.10100376]
- Seo JM, Lee SJ, Kim SH, Park CK, Ha SY. Hepatocellular carcinoma arising from hepatocellular adenoma in a hepatitis B virus-associated cirrhotic liver. *Clin Radiol* 2012; 67: 329-333 [PMID: 22079485 DOI: 10.1016/j.crad.2011.09.003]
- 徐晋勋. 口服避孕药与恶性肿瘤. 中国实用妇科与产科杂志 2001; 17: 318-319
- Lin H, van den Esschert J, Liu C, van Gulik TM. Systematic review of hepatocellular adenoma in China and other regions. *J Gastroenterol Hepatol* 2011; 26: 28-35 [PMID: 21175790 DOI: 10.1111/j.1440-1746.2010.06502.x]
- 陆忠义. 肝巨大囊腺瘤1例. 黔南民族医专学报 2008; 21: 105
- Farges O, Ferreira N, Dokmak S, Belghiti J, Bedossa P, Paradis V. Changing trends in malignant transformation of hepatocellular adenoma. *Gut* 2011; 60: 85-89 [PMID: 21148580 DOI: 10.1136/gut.2010.222109]
- 刘丽华. 肝左叶巨大肝细胞腺瘤的超声表现1例. 中

**■名词解释**  
**肝细胞腺瘤(HCA)**: 一种较为罕见的肝内良性肿瘤, 多发于年轻女性, 与长期使用口服避孕药或合成代谢类固醇雄激素可能有关。

■同行评价

本病例有其临床特点, 对临床医生具有警醒意义。

- 国超声诊断杂志 2006; 7: 787  
10 Capussotti L, Ferrero A, Sgotto E, Vigano L, Muratore A, Polastri R. Right hepatectomy with anterior approach for ruptured liver cell adenoma. *Hepatogastroenterology* 2007; 54: 1557-1559 [PMID: 17708298]  
11 Stoot JH, Coelen RJ, De Jong MC, Dejong CH. Malignant transformation of hepatocellular adenomas into hepatocellular carcinomas: a systematic review including more than 1600 adenoma cases. *HPB (Oxford)* 2010; 12: 509-522 [PMID: 20887318 DOI: 10.1111/j.1477-2574.2010.00222.x]  
12 Dardenne S, Hubert C, Sempoux C, Annet L, Jouret-Mourin A, Horsmans Y, Van Beers BE, Zech F, Gigot JF. Conservative and operative management of benign solid hepatic tumours: a successful stratified algorithm. *Eur J Gastroenterol Hepatol* 2010; 22: 1337-1344 [PMID: 20683192 DOI: 10.1097/MEG.0b013e32833db907]  
13 Kim TY, Kim BS, Hyun CL, Song BC. [Hepatocellular adenoma treated with radiofrequency ablation in young male]. *Korean J Gastroenterol* 2011; 57: 384-387 [PMID: 21694493 DOI: 10.4166/kjg.2011.57.6.384]

编辑: 马亚娟 电编: 李瑞芳



ISSN 1009-3079 (print) ISSN 2219-2859 (online) DOI: 10.11569 © 2017 Baishideng Publishing Group Inc. All rights reserved.

•消息•

## 《世界华人消化杂志》外文字符标准

**本刊讯** 本刊论文出现的外文字符应注意大小写、正斜体与上下角标。静脉注射iv, 肌肉注射im, 腹腔注射ip, 皮下注射sc, 脑室注射icv, 动脉注射ia, 口服po, 灌胃ig. s(秒)不能写成S, kg不能写成Kg, mL不能写成ML, lcpm(应写为1/min)÷E%(仪器效率)÷60 = Bq, pH不能写PH或P<sup>H</sup>, *H pylori*不能写成HP, T1/2不能写成t1/2或T<sub>1/2</sub>, V<sub>max</sub>不能V<sub>max</sub>, μ不写为英文u. 需排斜体的外文字, 用斜体表示. 如生物学中拉丁学名的属名与种名, 包括亚属、亚种、变种. 如幽门螺杆菌(*Helicobacter pylori*, *H.pylori*), *Ilex pubescens* Hook, et Arn.var.*glaber* Chang(命名者勿划横线); 常数K; 一些统计学符号(如样本数n, 均数mean, 标准差SD, F检验, t检验和概率P, 相关系数r); 化学名中标明取代位的元素、旋光性和构型符号(如N, O, P, S, d, l)如n-(normal, 正), N-(nitrogen, 氮), o-(ortho, 邻), O-(oxygen, 氧, 习惯不译), d-(dextro, 右旋), p-(para, 对), 例如n-butyl acetate(醋酸正丁酯), N-methylacetanilide(N-甲基乙酰苯胺), o-cresol(邻甲酚), 3-O-methyl-adrenaline(3-O-甲基肾上腺素), d-amphetamine(右旋苯丙胺), l-dopa(左旋多巴), p-aminosalicylic acid(对氨基水杨酸). 拉丁字及缩写in vitro, in vivo, in situ; Ibid, et al, po, vs; 用外文字母代表的物理量, 如m(质量), V(体积), F(力), p(压力), W(功), v(速度), Q(热量), E(电场强度), S(面积), t(时间), z(酶活性, kat), t(摄氏温度, °C), D(吸收剂量, Gy), A(放射性活度, Bq), ρ(密度, 体积质量, g/L), c(浓度, mol/L), φ(体积分数, mL/L), w(质量分数, mg/g), b(质量摩尔浓度, mol/g), l(长度), b(宽度), h(高度), d(厚度), R(半径), D(直径), T<sub>max</sub>, C<sub>max</sub>, Vd, T<sub>1/2</sub> CI等. 基因符号通常用小写斜体, 如ras, c-myc; 基因产物用大写正体, 如P16蛋白.



Published by **Baishideng Publishing Group Inc**  
7901 Stoneridge Drive, Suite 501, Pleasanton,  
CA 94588, USA  
Fax: +1-925-223-8242  
Telephone: +1-925-223-8243  
E-mail: [bpgoffice@wjgnet.com](mailto:bpgoffice@wjgnet.com)  
<http://www.wjgnet.com>



ISSN 1009-3079

A standard barcode with the number 9 771009 307056 printed below it. To the right of the barcode is the number 14&gt;.